

Hiver 2018

Analyse d'images IMN 259

Transformée de Fourier
appliquée à l'imagerie numérique

Par
Pierre-Marc Jodoin

1

Transformée de Fourier 2D

Cas 1D

$$\mathfrak{F}[f(x)] = F(u) = \int_{-\infty}^{\infty} f(x) e^{-j2\pi ux} dx$$

$$\mathfrak{F}^{-1}[F(u)] = f(x) = \int_{-\infty}^{\infty} F(u) e^{j2\pi ux} du$$

Cas 2D

$$\mathfrak{F}[f(x,y)] = F(u,v) = \int_{-\infty}^{\infty} \int_{-\infty}^{\infty} f(x,y) e^{-j2\pi ux} e^{-j2\pi vy} dx dy$$

$$\mathfrak{F}^{-1}[F(u,v)] = f(x,y) = \int_{-\infty}^{\infty} \int_{-\infty}^{\infty} F(u,v) e^{j2\pi ux} e^{j2\pi vy} du dv$$

où x,y sont des coordonnées **spatiales**
et u,v des coordonnées **spectrales**

$$F(u,v) = \text{Re}[F(u,v)] + j \text{Im}[F(u,v)] = \underline{R(u,v)} + j \underline{I(u,v)}$$
$$F(u,v) = |F(u,v)| e^{j\theta(u,v)} \quad \text{(Réelle) (Imaginaire)}$$

$$\theta(u,v) = \arctan(I(u,v)/R(u,v)) \quad \text{: Phase}$$

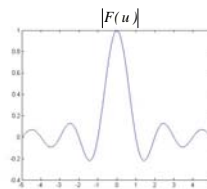
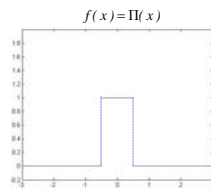
$$|F(u,v)| = \sqrt{R(u,v)^2 + I(u,v)^2} \quad \text{: Spectre d'amplitude}$$

$$|F(u,v)|^2 = R(u,v)^2 + I(u,v)^2 \quad \text{: Spectre de puissance}$$

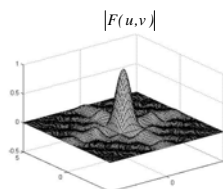
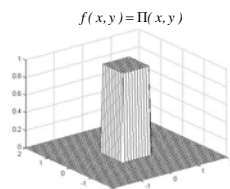
2

Transformée de Fourier 2D

Exemple, la fonction « porte »

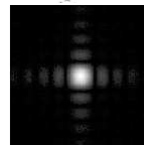
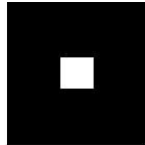


$$\mathfrak{F}\{\Pi(x)\} = \frac{\sin(\pi u)}{\pi u}$$



$$\mathfrak{F}\{\Pi(x,y)\} = \frac{\sin(\pi u)}{\pi u} \frac{\sin(\pi v)}{\pi v}$$

Carte de profondeur :
 $f(x,y)$ et $F(u,v)$ visualisés
à l'aide d'images 2D.



TF d'un signal discrétisé

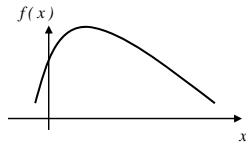
TF discrète 1D

Cas continu

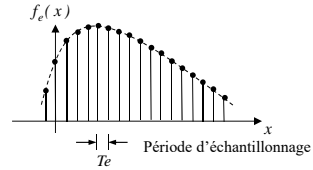
$$F(u) = \int_{-\infty}^{\infty} f(x) e^{-j2\pi ux} du$$

$$f(x) = \int_{-\infty}^{\infty} F(u) e^{j2\pi ux} dx$$

Cas discret



Échantillonneur
(appareil numérique
photo, vidéo, audio)



$$f_e(x) = f(x_0 + xT_e) \quad x = 0, 1, 2, \dots, N-1$$

(souvent $x_0 = 0$)

$$x = 0, 1, 2, \dots, N-1$$

$$u = 0, 1, 2, \dots, N-1$$

$$F_e(u) = \frac{1}{N} \sum_{x=0}^{N-1} f_e(x) e^{-j2\pi \frac{u}{N} x}$$

$$f_e(x) = \sum_{u=0}^{N-1} F_e(u) e^{j2\pi \frac{u}{N} x}$$

5

TF discrète 1D

Cas continu

$$F(u) = \int_{-\infty}^{\infty} f(x) e^{-j2\pi ux} du$$

$$f(x) = \int_{-\infty}^{\infty} F(u) e^{j2\pi ux} dx$$

Cas discret

Pour alléger la notation et rester conforme avec le livre de
Gonzalez et Woods on dira désormais:

$$F(u) = \frac{1}{N} \sum_{x=0}^{N-1} f(x) e^{-j2\pi \frac{u}{N} x}$$

$$f(x) = \sum_{u=0}^{N-1} F(u) e^{j2\pi \frac{u}{N} x}$$

6

TF discrète 2D

Cas continu

$$F(u, v) = \int_{-\infty}^{\infty} \int_{-\infty}^{\infty} f(x, y) e^{-j2\pi(ux+vy)} dx dy$$

$$f(x, y) = \int_{-\infty}^{\infty} \int_{-\infty}^{\infty} F(u, v) e^{j2\pi(ux+vy)} du dv$$

Cas discret

$$F(u, v) = \frac{1}{NM} \sum_{x=0}^{N-1} \sum_{y=0}^{M-1} f(x, y) e^{-j2\pi(\frac{ux}{N} + \frac{vy}{M})} \quad \begin{array}{l} u = 0, 1, 2, \dots, N-1 \\ v = 0, 1, 2, \dots, M-1 \end{array}$$

$$f(x, y) = \sum_{u=0}^{N-1} \sum_{v=0}^{M-1} F(u, v) e^{j2\pi(\frac{ux}{N} + \frac{vy}{M})} \quad \begin{array}{l} x = 0, 1, 2, \dots, N-1 \\ y = 0, 1, 2, \dots, M-1 \end{array}$$

Note: les images qu'on traite sont parfois carrées, donc $N=M$

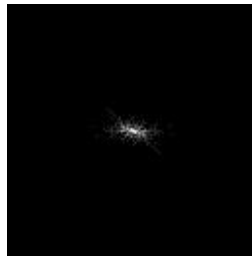
7

TF discrète

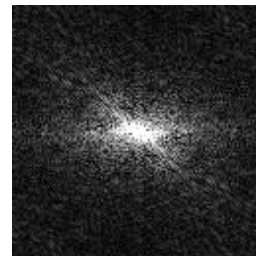
Exemple



$f(x, y)$



$|F(u, v)|$



$255 \log(1 + |F(u, v)|)$

Note:

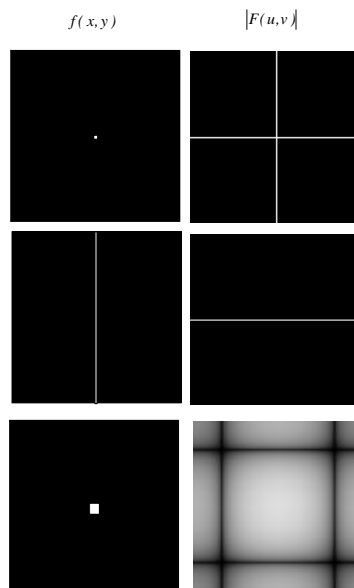
- On affiche généralement le module de la TF $|F(u, v)|$
- Puisque les hautes fréquences sont beaucoup plus faibles que les basses fréquences, on utilise fréquemment un recalage logarithmique: $k \log(1 + |F(u, v)|)$
- On positionne l'origine au centre de l'image à l'aide d'un **recalage cyclique**.
- Les propriétés de la TF2D sont les mêmes que pour la TF 1D. 8

TF discrète

Un pixel isolé peut être vu comme un delta de Dirac en x et en y.

Un trait vertical d'un pixel d'épais peut être vu comme un delta de Dirac en x et comme un signal continu en y.

Un carré peut être vu comme une fonction porte en x et en y.

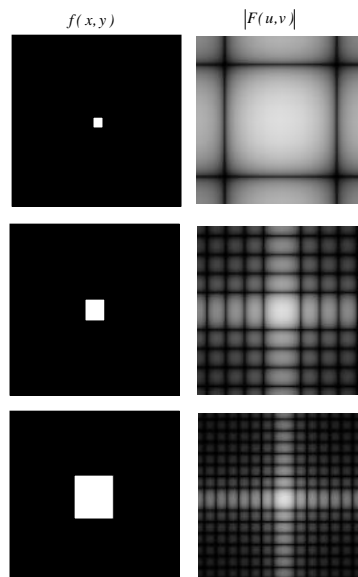


9

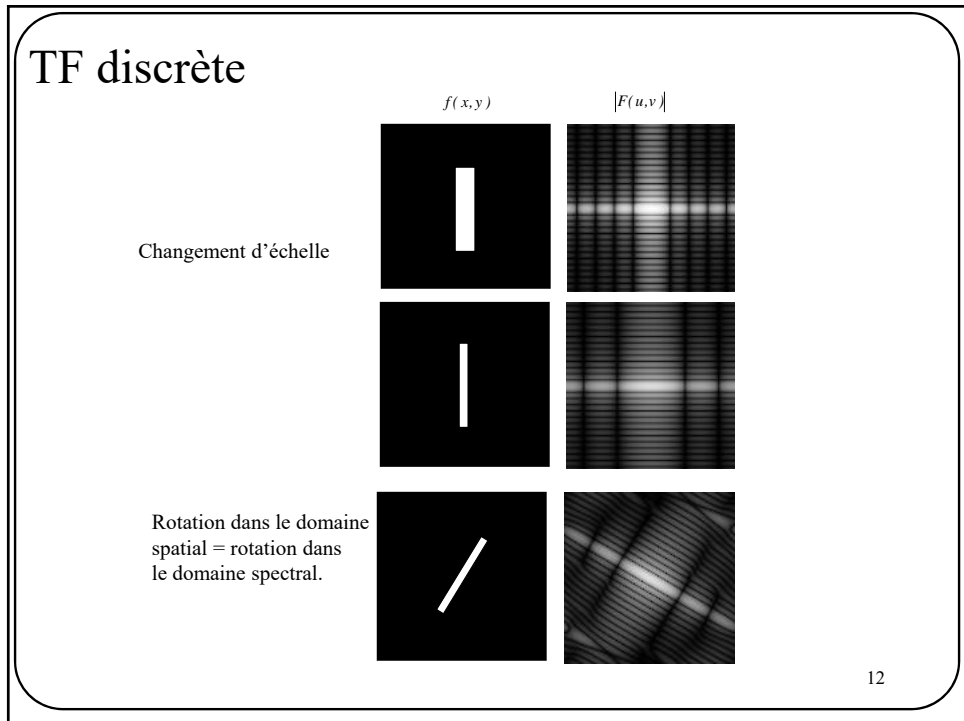
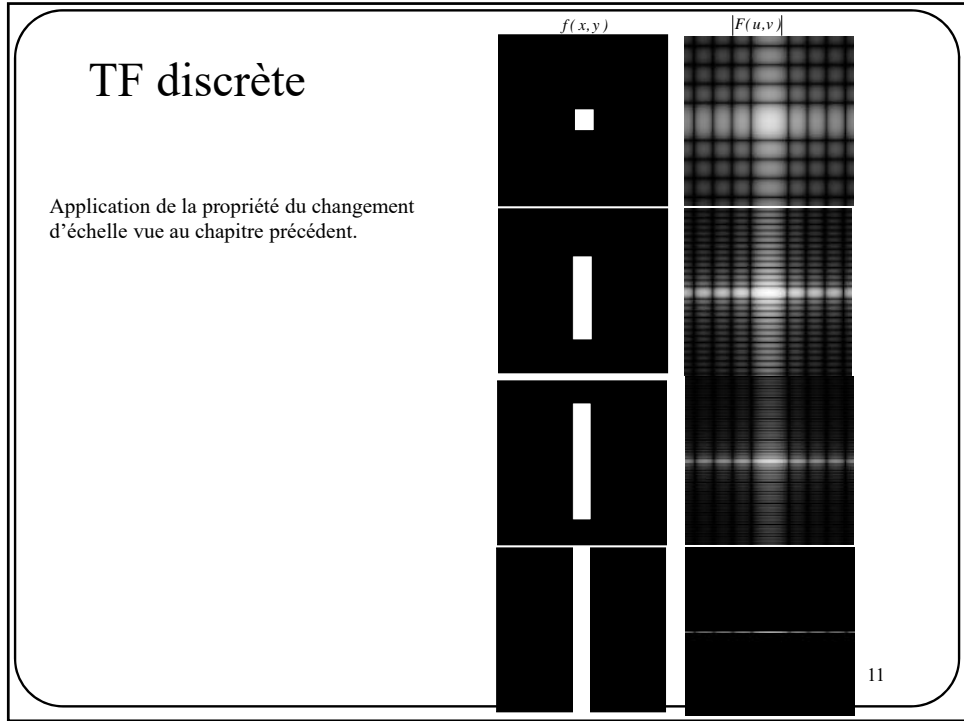
TF discrète

Application de la propriété du changement d'échelle vue au chapitre précédent.

$$\mathfrak{T}[f(ax,by)] = \frac{1}{|a||b|} F\left(\frac{u}{a}, \frac{v}{b}\right)$$

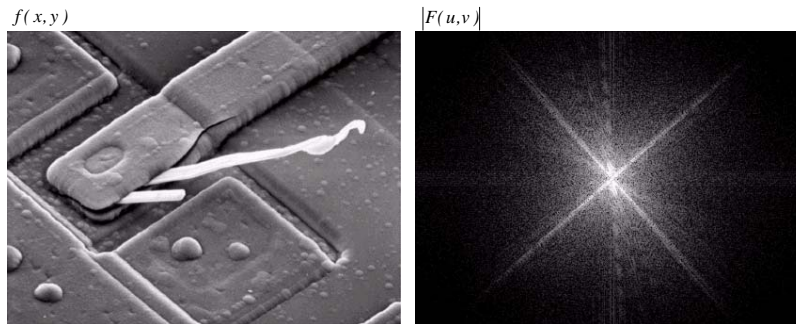


10



TF discrète

Autre exemple, TF d'une image d'un circuit intégré



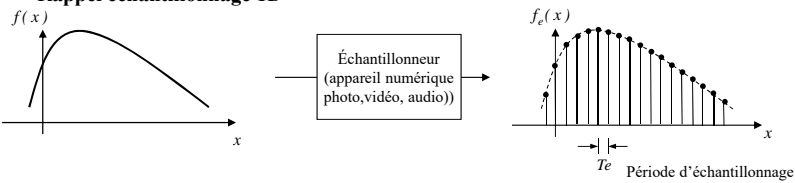
13

Périodicité et recalage cyclique

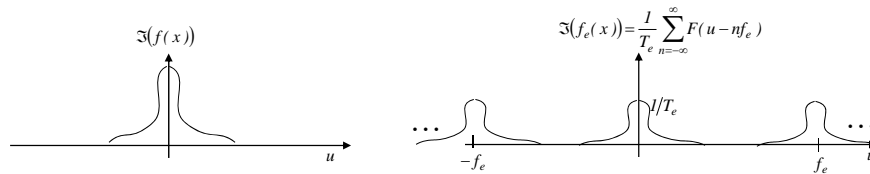
14

Périodicité et recalage cyclique

Rappel échantillonnage 1D



Échantillonner un signal spatial revient à le dupliquer à l'infini dans le domaine spectral



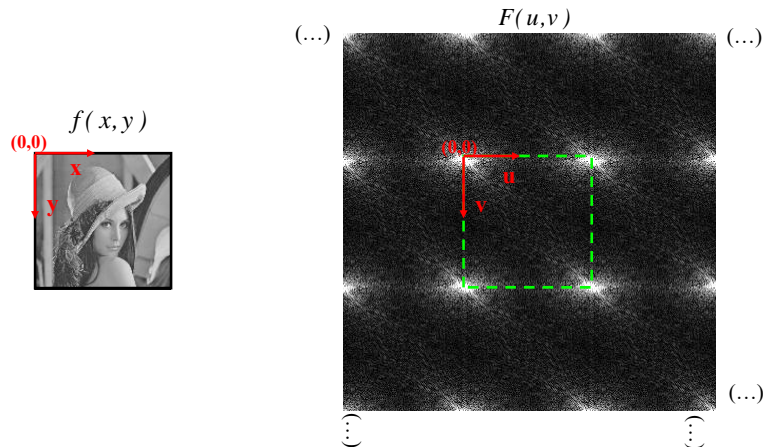
15

Périodicité et recalage cyclique

Périodicité

Puisqu'une image numérique est un signal échantillonné ($T_e=1 \text{ pixel}$) son spectre fréquentiel est **périodique**

$$F(u, v) = F(u + N, v) = F(u, v + M) = F(u + N, v + M) = \dots$$



Périodicité et recalage cyclique

Périodicité

Puisqu'une image numérique est un signal échantillonné ($T_e=1 \text{ pixel}$) son spectre fréquentiel est **périodique**

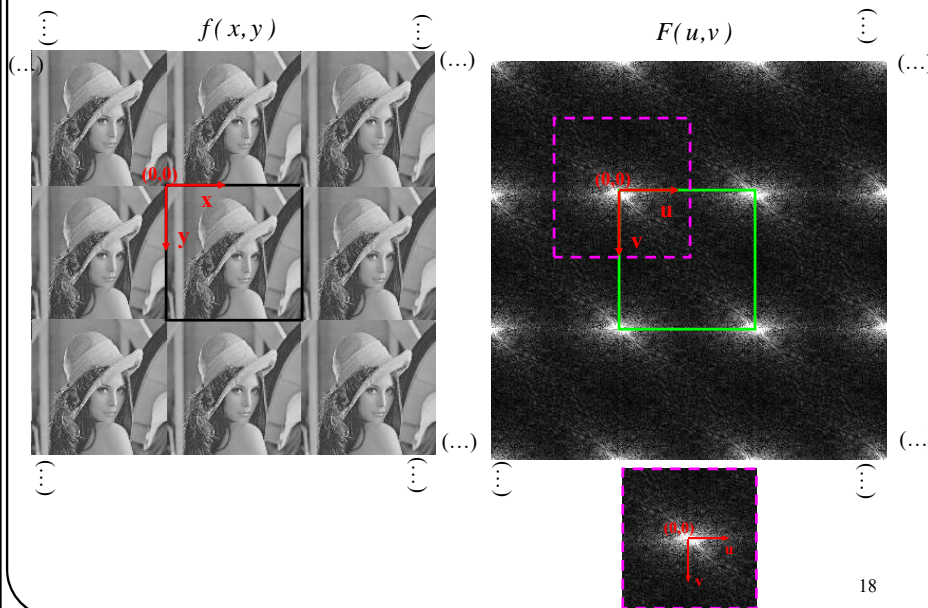
$$F(u, v) = F(u + N, v) = F(u, v + M) = F(u + N, v + M) = \dots$$

De façon équivalente, puisque $F(u, v)$ est un signal échantillonné (c'est un **spectre de raies**), alors l'image spatiale $f(x, y)$ est aussi un signal **périodique**

$$f(x, y) = f(x + N, y) = f(x, y + M) = f(x + N, y + M) = \dots$$

17

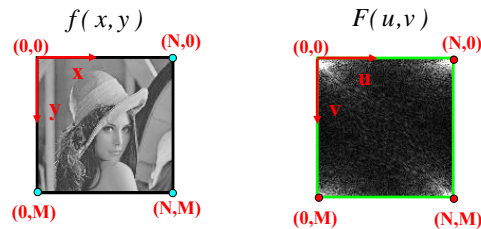
Périodicité et recalage cyclique



18

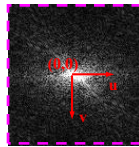
Périodicité et recalage cyclique

Puisque le centre géométrique $(0,0)$ d'une image est [presque] toujours centré sur le pixel supérieur gauche, alors l'origine $(0,0)$ de $F(u,v)$ est aussi centrée en haut à gauche.



Pour ramener l'origine de $F(u,v)$ au centre de l'image, il faut traduire $F(u,v)$ par $(N/2, M/2)$. C'est ce qu'on appelle un **recalage cyclique**.

$$F(u - N/2, v - M/2)$$



19

Périodicité et recalage cyclique

Suivant la propriété de la translation exposée au chapitre précédent:

$$F(u - a, v - b) \Leftrightarrow f(x, y) e^{j2\pi\left(\frac{ax}{N} + \frac{by}{M}\right)}$$

Puisque $a=N/2$ et $b=M/2$ alors

$$\begin{aligned} F(u - N/2, v - M/2) &\Leftrightarrow f(x, y) e^{j2\pi\left(\frac{Nx}{2N} + \frac{My}{2M}\right)} \\ &= f(x, y) e^{j\pi(x+y)} \\ &= f(x, y) (\cos(\pi(x+y)) + j \sin(\pi(x+y))) \\ &= f(x, y) \cos(\pi(x+y)) \\ &= f(x, y) (-1)^{x+y} \end{aligned}$$

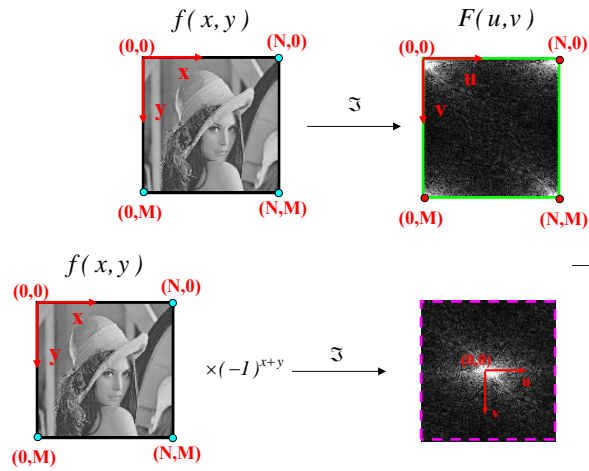
car

$$\cos(\pi(x+y)) = \begin{cases} 1 & \text{lorsque } x+y \text{ est pair} \\ -1 & \text{lorsque } x+y \text{ est impair} \end{cases}$$

20

Périodicité et recalage cyclique

En conclusion, pour faire un recalage cyclique de la transformée de Fourier 2D d'une image $f(x,y)$, on a qu'à multiplier tous ses pixels par $(-1)^{x+y}$



21

Convolution discrète

22

Convolution discrète

La convolution

Cas continu

$$(f * h)(x) = \int_{-\infty}^{\infty} f(t)h(x-t)dt \quad 1D$$

$$(f * h)(x, y) = \int_{-\infty}^{\infty} \int_{-\infty}^{\infty} f(t, r)h(x-t, y-r)dt dr \quad 2D$$

Cas discret

$$(f * h)(x) = \sum_{t=-\infty}^{\infty} f(t)h(x-t) \quad 1D$$

$$(f * h)(x, y) = \sum_{r=-\infty}^{\infty} \sum_{t=-\infty}^{\infty} f(t, r)h(x-t, y-r) \quad 2D$$

Rappel théorème de la convolution

$$\mathfrak{T}((f * h)(x)) = F(u)H(u) \quad \text{et} \quad \mathfrak{T}^{-1}((F * H)(u)) = f(x)h(x) \quad 1D$$

Note: ce théorème est valable pour les cas continu et discret

23

Convolution discrète

Cas 2D

$$(f * h)(x, y) = \sum_r \sum_t f(t, r)h(x-t, y-r)$$

$$\begin{array}{c}
 (0,0) \\
 \downarrow \\
 \begin{array}{|c|c|c|c|c|}
 \hline 10 & 11 & 12 & 13 & 14 \\
 \hline 15 & 16 & 17 & 18 & 19 \\
 \hline 20 & 21 & 22 & 23 & 24 \\
 \hline 25 & 26 & 27 & 28 & 29 \\
 \hline 30 & 31 & 32 & 33 & 34 \\
 \hline
 \end{array} \\
 f(x,y)
 \end{array}
 *
 \begin{array}{c}
 (0,0) \\
 \downarrow \\
 \begin{array}{|c|c|}
 \hline -1 & 0 \\
 \hline 1 & 2 \\
 \hline
 \end{array} \\
 h(x,y)
 \end{array}
 =
 \begin{array}{c}
 \begin{array}{|c|c|c|c|c|}
 \hline -10 & -11 & -12 & -13 & -14 \\
 \hline -5 & 15 & 17 & 19 & 21 \\
 \hline -5 & 25 & 27 & 29 & 31 \\
 \hline -5 & 35 & 37 & 39 & 41 \\
 \hline -5 & 45 & 47 & 49 & 51 \\
 \hline
 \end{array} \\
 \text{(ajout de zéros)}
 \end{array}$$


$$\begin{array}{c}
 \begin{array}{|c|c|}
 \hline -1 & 0 \\
 \hline 1 & 2 \\
 \hline
 \end{array}
 \quad
 \begin{array}{c}
 \begin{array}{|c|c|}
 \hline 0 & -1 \\
 \hline 2 & 1 \\
 \hline
 \end{array} \\
 \text{Réflexion en X}
 \end{array}
 \quad
 \begin{array}{c}
 \begin{array}{|c|c|}
 \hline 2 & 1 \\
 \hline 0 & -1 \\
 \hline
 \end{array} \\
 \text{Réflexion en Y} \leftarrow (0,0)
 \end{array}
 \end{array}$$

24

Convolution discrète

Exemples concrets, un avant goût des filtres spatiaux

$f(x,y)$




$h(x,y)$

0	0	0	0	0
0	1	1	1	0
0	1	1	1	0
0	1	1	1	0
0	0	0	0	0

9

$(f*h)(x,y)$

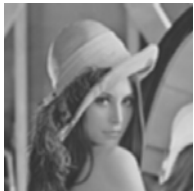


$h(x,y)$

1	1	1	1	1
1	1	1	1	1
1	1	1	1	1
1	1	1	1	1
1	1	1	1	1

25

$(f*h)(x,y)$




$h(x,y)$

0	0	0	0	0
0	0	0	0	0
0	-1	0	1	0
0	0	0	0	0
0	0	0	0	0

2

$(f*h)(x,y)$




$h(x,y)$

0	0	0	0	0
0	0	-1	0	0
0	-1	5	-1	0
0	0	-1	0	0
0	0	0	0	0

25

$(f*h)(x,y)$

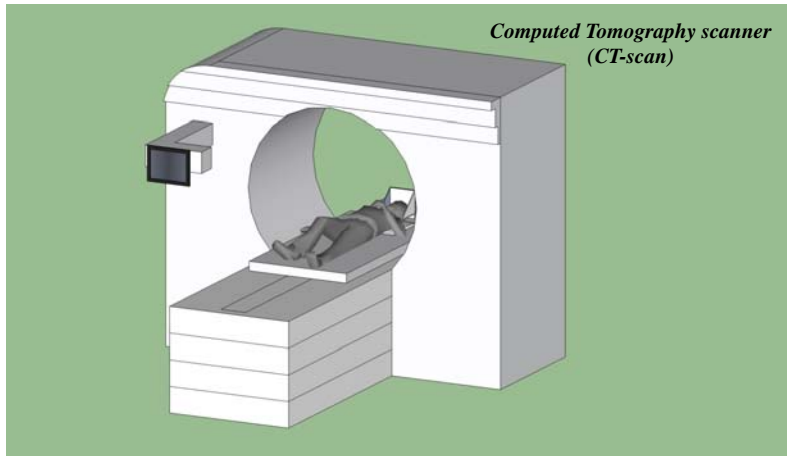


(les valeurs négatives apparaissent en noir)

Tomographie

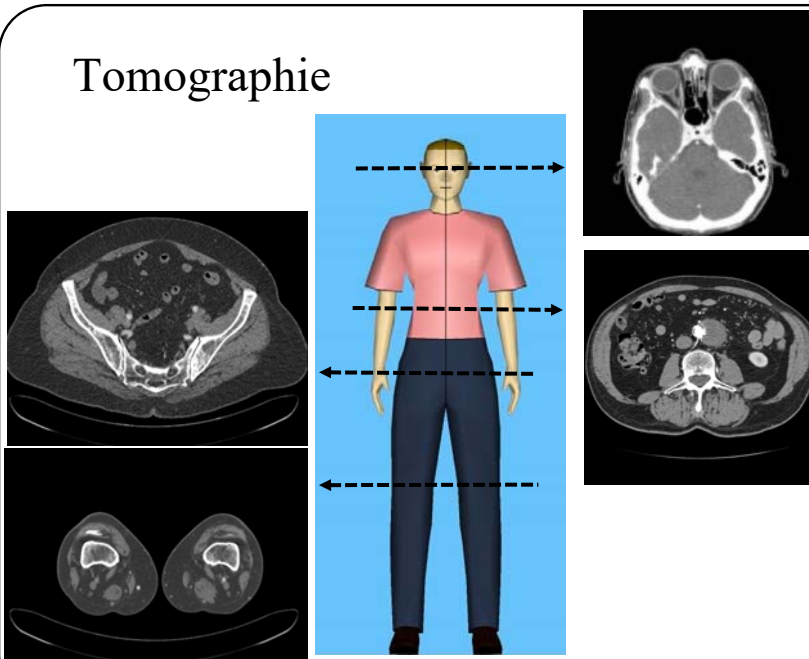
Application de la TF

La tomographie



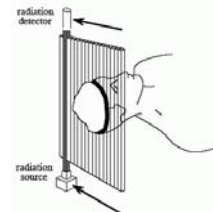
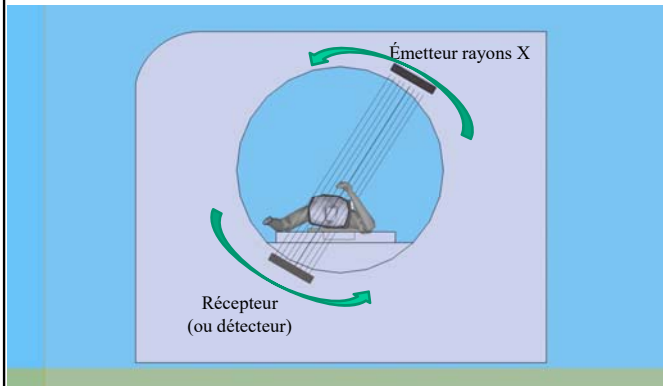
27

Tomographie



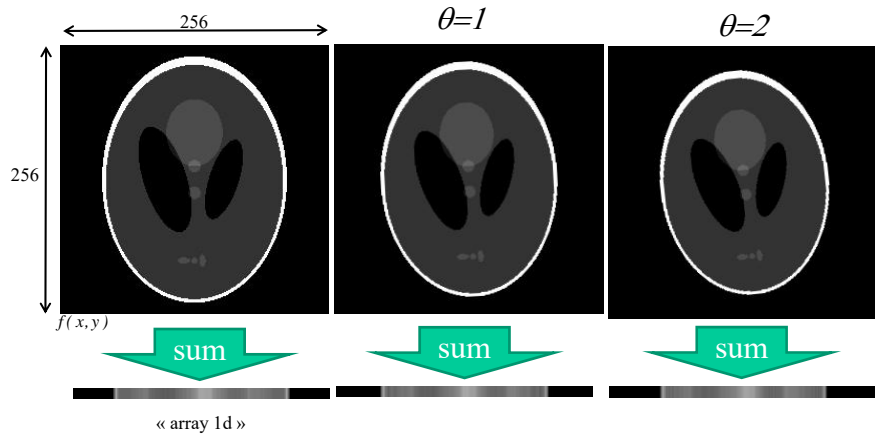
28

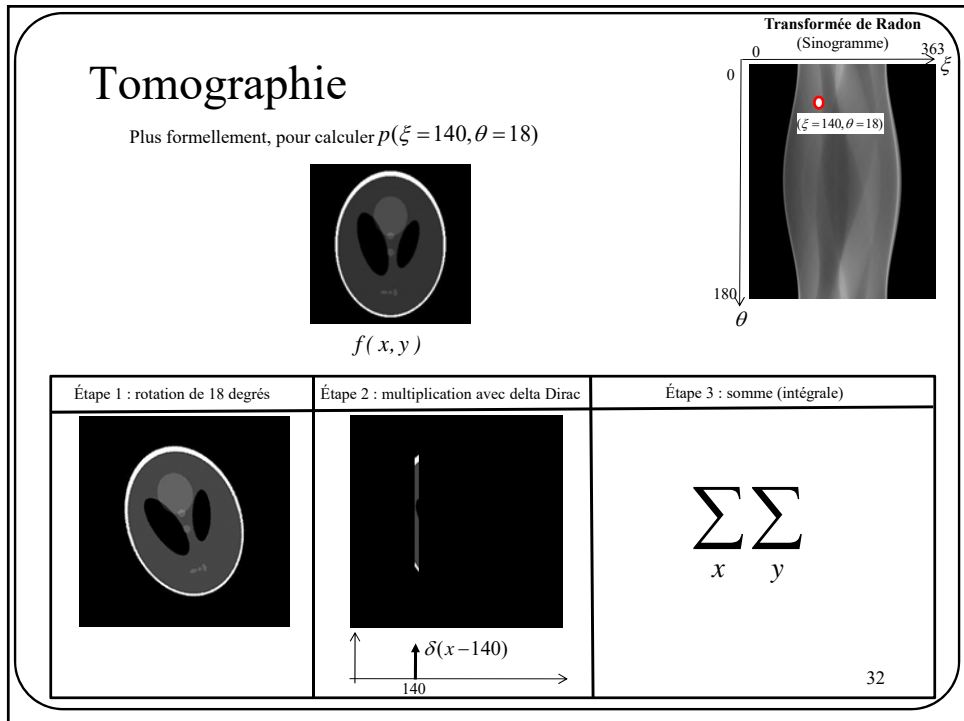
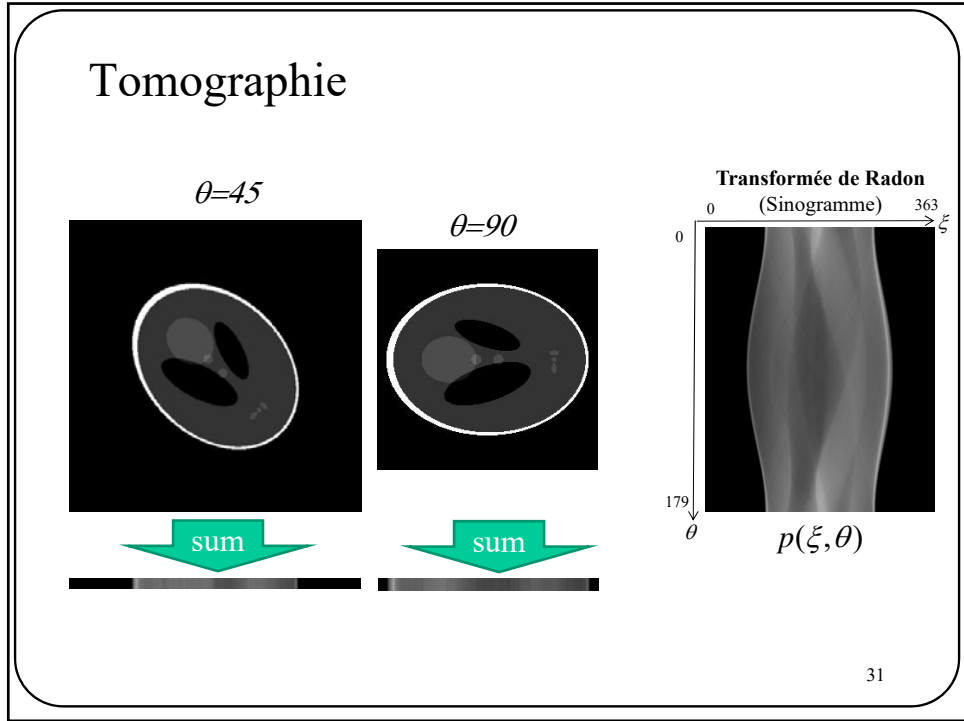
Tomographie



Crédit : <http://www.dspguide.com/ch25/5.htm>

Tomographie





Tomographie

De façon équivalente, on peut intégrer le long d'une droite définie par (ξ, θ)



$f(x, y)$

Étape 1 : Trouver une droite de 18 degrés et décalée de 140	Étape 2 : multiplication avec delta Dirac	Étape 3 : somme (intégrale)
<p>$x \cos \theta + y \sin \theta = \xi$</p>	<p>$f(x, y)\delta(x \cos \theta + y \sin \theta - \xi)$</p>	$\sum_x \sum_y$

$$p(\xi, \theta) = \sum_x \sum_y f(x, y)\delta(x \cos \theta + y \sin \theta - \xi)$$

ou

$$p(\xi, \theta) = \iint f(x, y)\delta(x \cos \theta + y \sin \theta - \xi) dx dy$$

33

Tomographie

Transformée de Radon



$p(\xi, \theta)$

Tomographie
(retrouver $f(x, y)$ à partir de la TR)



$f(x, y)$

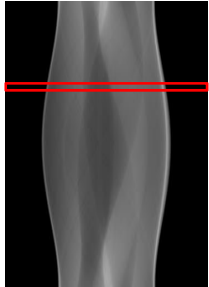
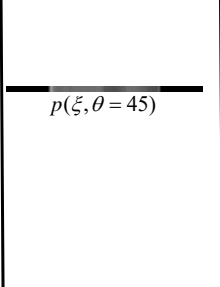
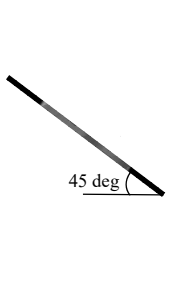
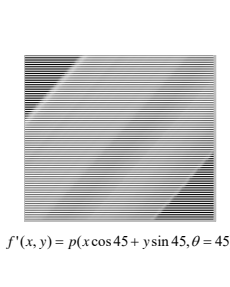
2 méthodes parmi les plus connues:

1. Projection inverse
2. Approche par TF

34

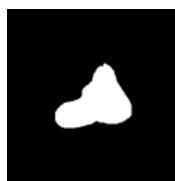
Projection inverse

Projection inverse d'une seule ligne : $\theta = 45$

Étape 1	Étape 2	Étape 3	Étape 4
			

35

Projection inverse



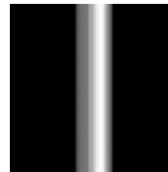
$f(x, y)$

Transformée de Radon



$p(\xi, \theta)$

Projection inverse pour toutes les lignes
(Back projection)

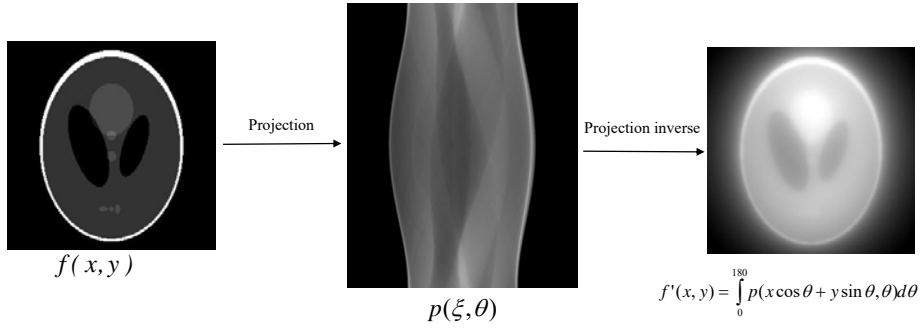


$$f'(x, y) = \int_0^{180} p(x \cos \theta + y \sin \theta, \theta) d\theta$$

Crédit : http://www.snaggledworks.com/em_for_dummies/back_projection.html

36

Projection inverse

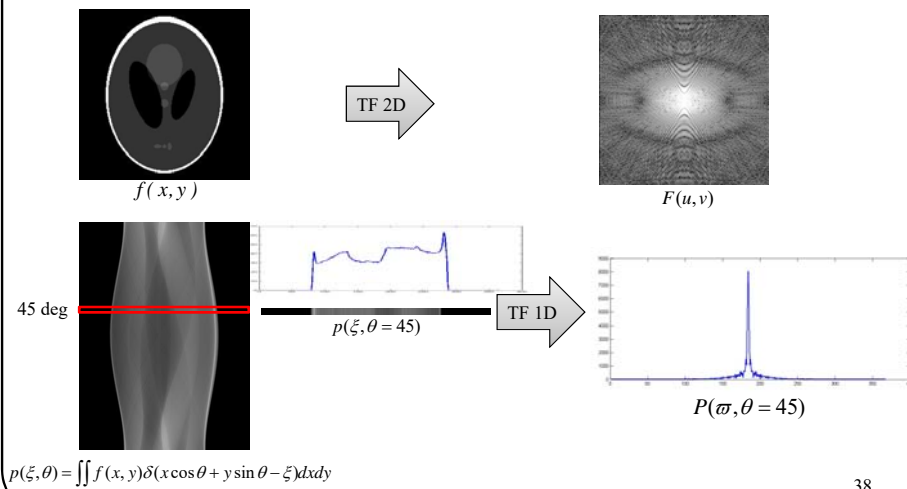


37

Approche par TF

Théorème de la tranche centrale (*Central Slice Theorem*)

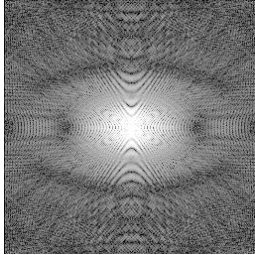
Des résultats plus précis (moins flous) peuvent être obtenus via la TF.



38

Approche par TF

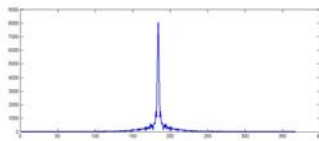
Théorème de la tranche centrale (*Central Slice Theorem*)



$$F(u, v) = \int_{-\infty}^{\infty} \int_{-\infty}^{\infty} f(x, y) e^{-j2\pi(ux+vy)} dx dy$$

Approche par TF

Théorème de la tranche centrale (*Central Slice Theorem*)



$$\begin{aligned} P(\varpi, \theta) &= \mathfrak{F}[p(\xi, \theta)] \\ &= \int p(\xi, \theta) e^{-j2\pi\varpi\xi} d\varpi \\ &= \int \left(\iint f(x, y) \delta(x \cos \theta + y \sin \theta - \xi) dx dy \right) e^{-j2\pi\varpi\xi} d\varpi \\ &= \iint f(x, y) \delta(x \cos \theta + y \sin \theta - \xi) e^{-j2\pi\varpi\xi} d\varpi dx dy \end{aligned}$$

En vertu des propriétés du delta de Dirac ($f(x)\delta(x-a) = f(a)$)

$$P(\varpi, \theta) = \iint f(x, y) e^{-j2\pi\varpi(x \cos \theta + y \sin \theta)} dx dy$$

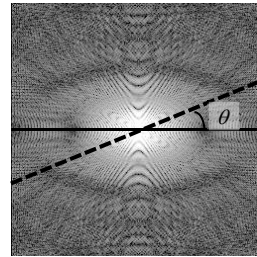
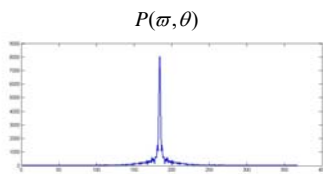
Approche par TF

Théorème de la tranche centrale (*Central Slice Theorem*)

$$P(\varpi, \theta) = \iint f(x, y) e^{-j2\pi\varpi(x\cos\theta + y\sin\theta)} dx dy$$

Et en posant que $u = \varpi \cos \theta$ et $v = \varpi \sin \theta$, on réalise que $P(\varpi, \theta)$ est une droite dans l'espace fréquentiel de $F(u, v)$

$$P(\varpi, \theta) = \iint f(x, y) e^{-j2\pi(u x + v y)} dx dy$$

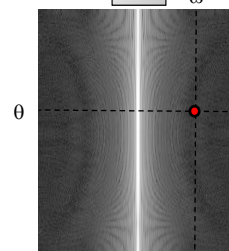
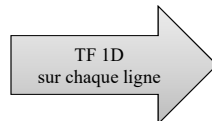


$$F(u, v) = \iint f(x, y) e^{-j2\pi(ux + vy)} dx dy \quad 41$$

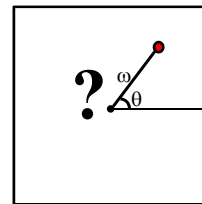
Approche par TF



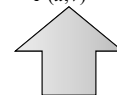
$p(\xi, \theta)$



$P(\varpi, \theta)$

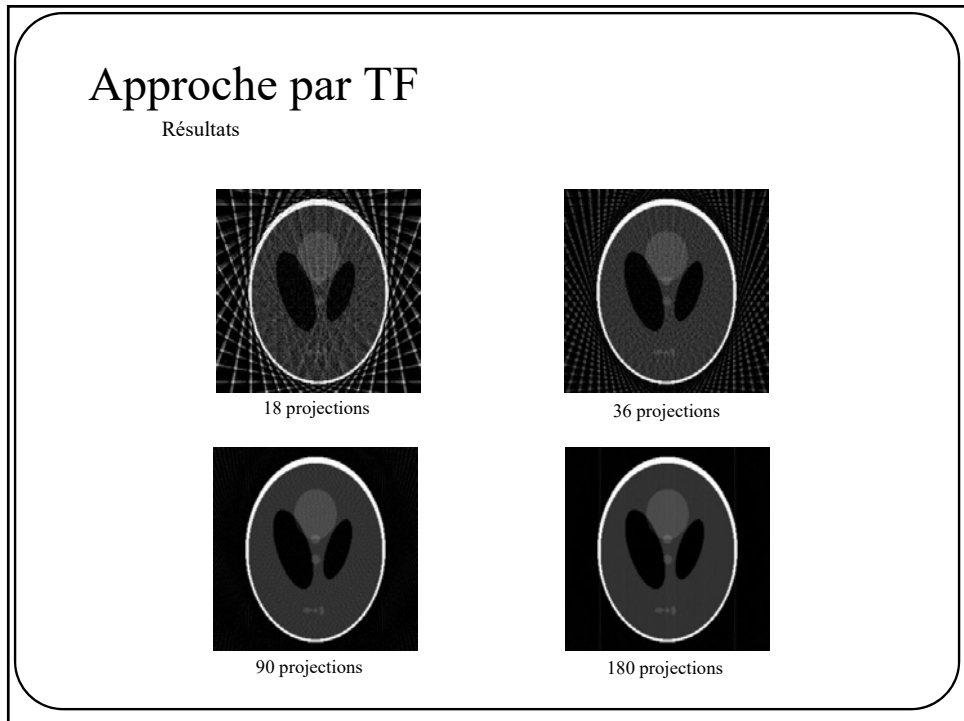
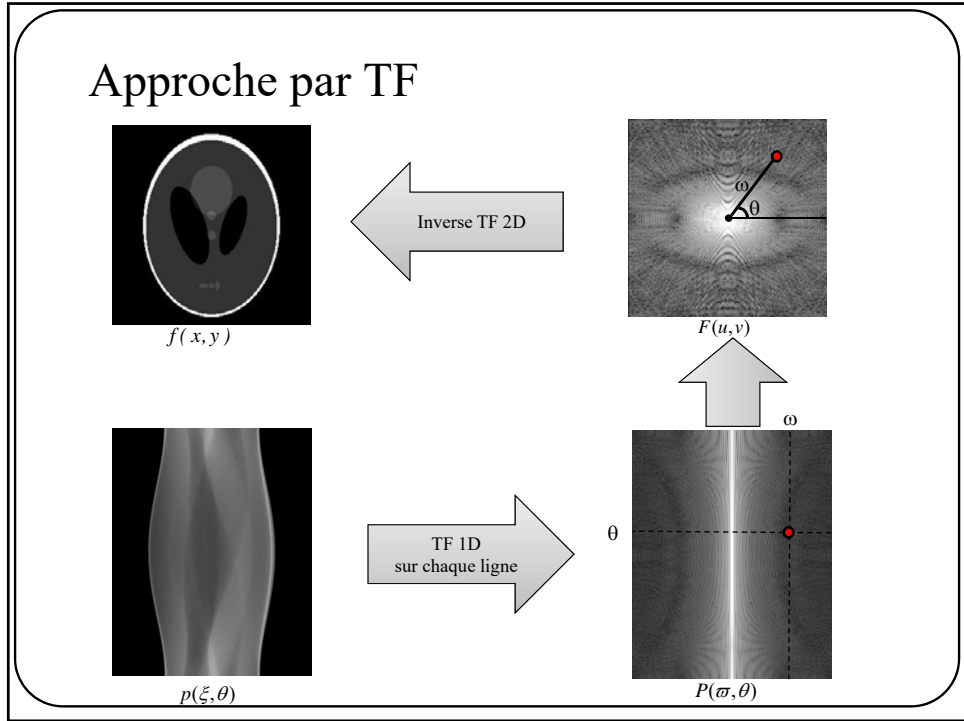


$F(u, v)$



ω

θ

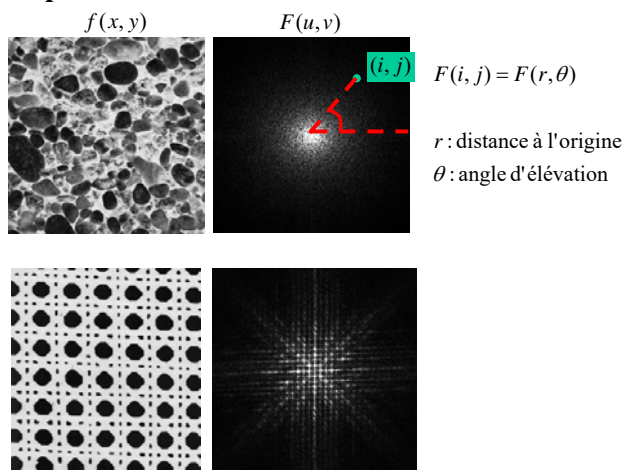


Caractérisation de textures

45

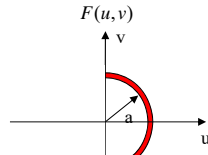
Représentation des textures

Représentation **spectrale** \Rightarrow caractériser une texture sur la base de la forme de la T.F.



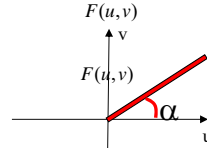
46

Représentation des textures



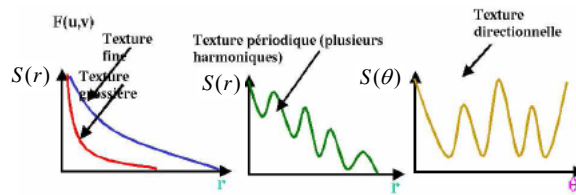
$$S(r = a) = \sum_{\theta=0}^{180} F(a, \theta)$$

Somme de tous les éléments situés à une distance « a » de l'origine



$$S(\theta = \alpha) = \sum_{r=0}^R F(r, \alpha)$$

Somme de tous les éléments situés à un angle « a »



Mignotte

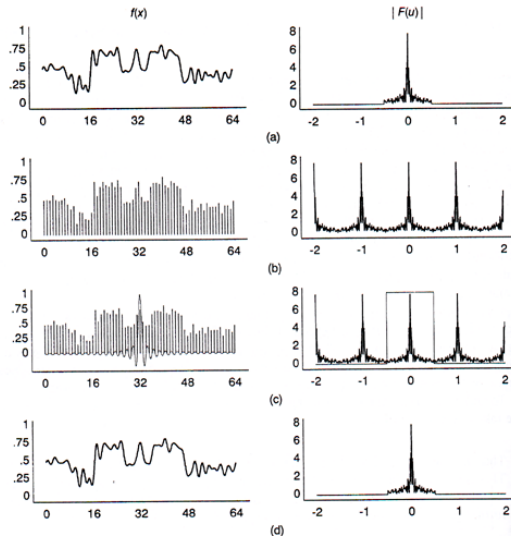
47

L'aliasing
(ou repliement de spectre)

48

L'aliasing

Vous vous souvenez de la théorie de l'échantillonnage?

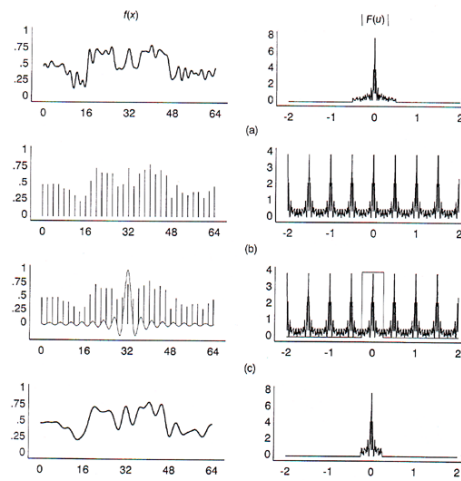


Foley-Vandam 49

L'aliasing

Qu'arrive-t-il si on échantillonne un signal avec une fréquence plus petite que la fréquence de Nyquist?

Repliement
de spectre:
Aliasing



Foley-Vandam 50

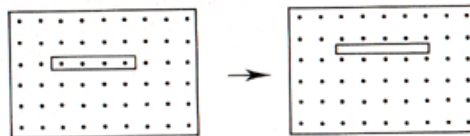
L'aliasing

Deux définitions classiques de l'aliasing :

1. Perte d'information causée par un échantillonnage de fréquence trop basse.

1er exemple: Voir la page précédente

2e exemple:



Long thin objects may completely disappear

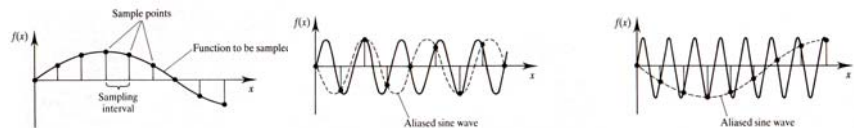
Alan Watt

51

L'aliasing

Deux définitions classiques de l'aliasing :

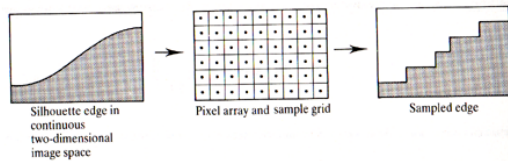
2. Induction de basses fréquences causée par un échantillonnage de fréquence trop basse.



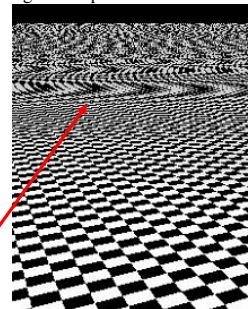
Fréquence d'échantillonnage adéquate

Fréquence d'échantillonnage inadéquate

Alan Watt



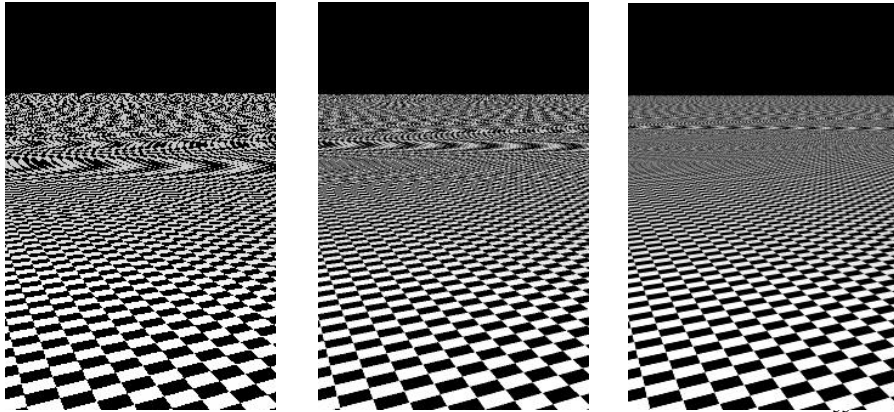
Effets de Moiré



L'aliasing

Bien qu'il soit généralement impossible de résoudre le problème de l'aliasing, on peut tout de même en masquer les effets. Comment? Parmi les nombreuses façons de lutter contre l'aliasing, il en existe deux qui reviennent souvent.

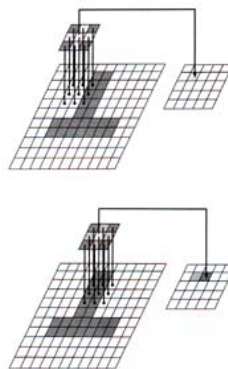
1: Augmenter la résolution de l'image



L'aliasing

Bien qu'il soit généralement impossible de résoudre le problème de l'aliasing, on peut tout de même en masquer les effets. Comment? Parmi les nombreuses façons de lutter contre l'aliasing, il en existe deux qui reviennent souvent.

2: Appliquer un filtre passe-bas. C'est ce qu'on appelle un processus d'*antialiasing*. C'est d'ailleurs ce que le *Mip Mapping* fait.



Crédit : Alan Watt

54

Les faits saillants...

1. TF d'un signal 2D échantillonné	$F(u, v) = \frac{1}{NM} \sum_{x=0}^{N-1} \sum_{y=0}^{M-1} f(x, y) e^{-j2\pi(\frac{ux}{N} + \frac{vy}{M})}$ $f(x, y) = \sum_{u=0}^{N-1} \sum_{v=0}^{M-1} F(u, v) e^{j2\pi(\frac{ux}{N} + \frac{vy}{M})}$
2. Périodicité	Puisqu'une image $f(x, y)$ et sa TF $F(u, v)$ sont des signaux échantillonnés, alors $f(x, y)$ et $F(u, v)$ sont des signaux qui se répètent à l'infini.
3. Recalage cyclique	Pour que l'origine de $F(u, v)$ apparaisse au centre de l'image, il faut multiplier les pixels de $f(x, y)$ par $(-1)^{x+y}$
4. Convolution discrète 2D	$(f * h)(x, y) = \sum_r \sum_t f(t, r) h(x-t, y-r)$
5. Théorème de la convolution	$* \xleftrightarrow{\mathfrak{F}} \times \quad \text{et} \quad \times \xleftrightarrow{\mathfrak{F}^{-1}} *$
6. Tomographie	$p(\xi, \theta) = \iint f(x, y) \delta(x \cos \theta + y \sin \theta - \xi) dx dy$
7. Textures	$S(r = a) = \sum_{\theta=0}^{180} F(a, \theta) \quad S(\theta = \alpha) = \sum_{r=0}^R F(r, \alpha)$
8. Aliasing – repliement de spectre	$f_e \geq 2f_{\max}$